

**BOLETIN DE SEGUIMIENTO DE LOS INCENDIOS FORESTALES EN ARAGÓN Nº 7/13**

22/11/2013

**¿QUÉ HEMOS TENIDO?**

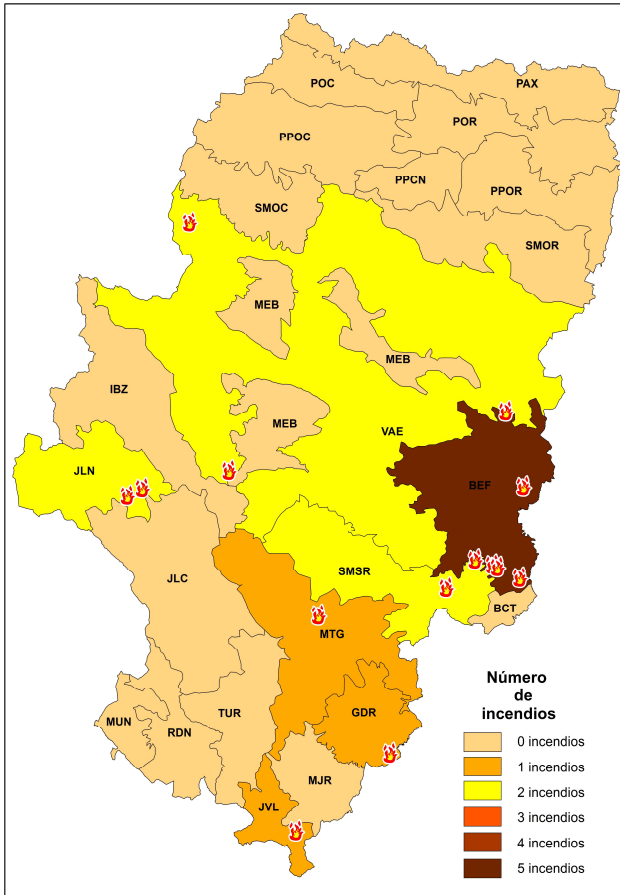


Figura 1. Distribución de incendios según zonas de meteoalerta durante el mes de octubre de 2013

En el periodo comprendido entre el 1 y el 31 de octubre se han producido un total de 15 incendios. La superficie afectada ha sido de 5,43 ha.

El incendio forestal de mayor tamaño se ha registrado en Nonaspe, con una superficie quemada de 1,24 ha.

Haciendo una comparativa con los datos del último decenio en octubre (12 incendios y 24,93ha), observamos que han tenido lugar 3 siniestros más y sin embargo, se ha quemado aproximadamente una quinta parte de lo que es habitual.

**Las causas**

La casuística en este mes de octubre ha correspondido en su mayoría a negligencias y causas accidentales (10 incendios) siendo las quemas agrícolas responsables de 9 de ellos, seguido de rayos (3) y causas desconocidas (2)

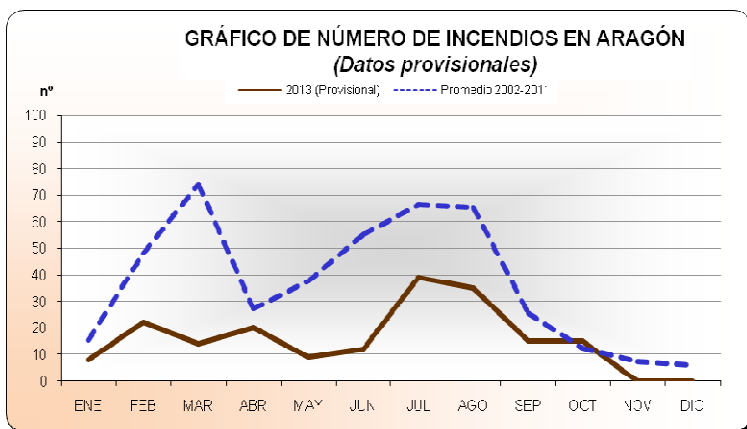


Figura 2. Número de incendios en Aragón de 1 de enero a 31 de octubre de 2013 y promedio histórico

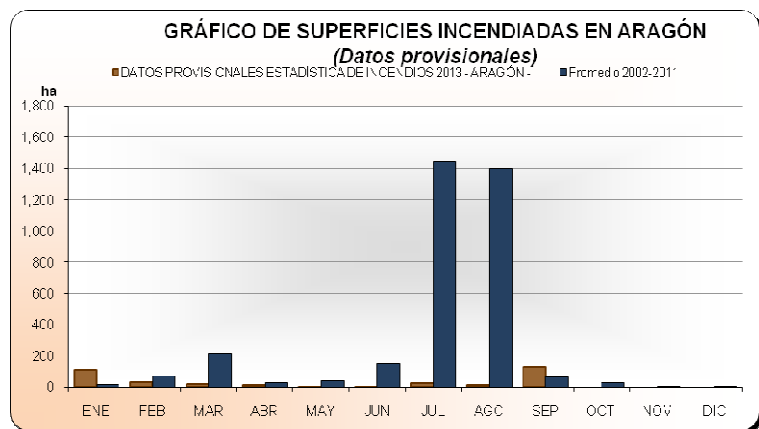
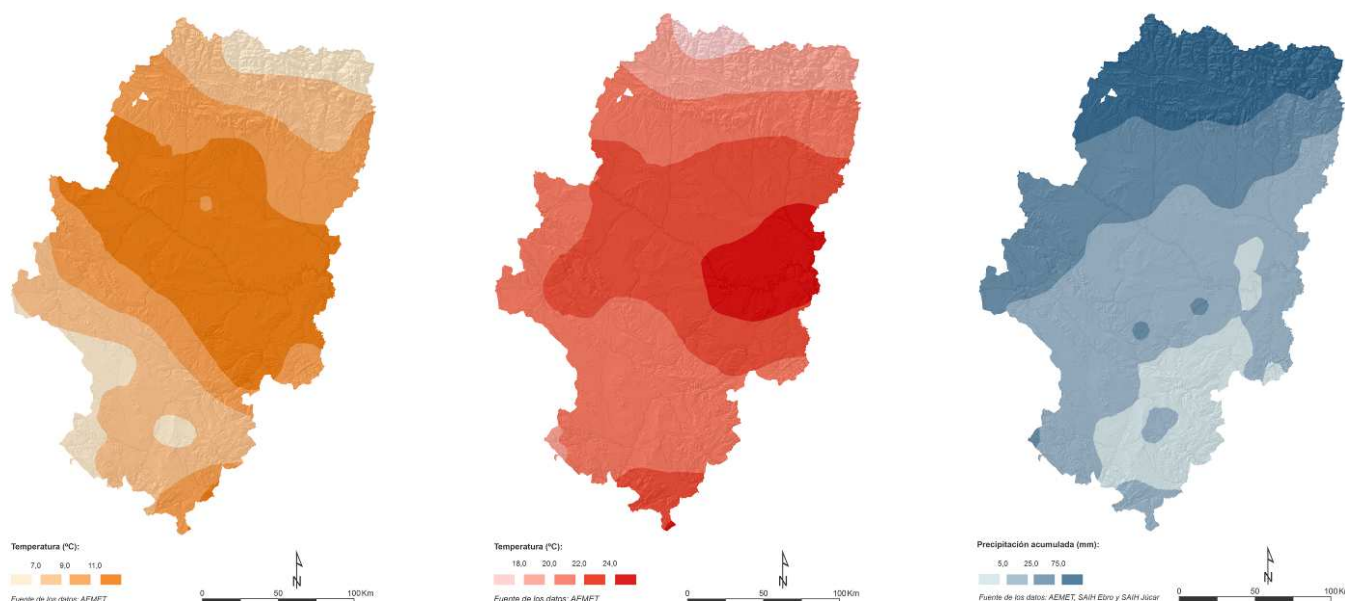


Figura 3. Superficie quemada en Aragón de 1 de enero a 31 de octubre de 2013 y promedio histórico

## OCTUBRE 2013

### Resumen termo-pluviométrico octubre de 2013.

El mes de octubre de 2013 tuvo un comportamiento muy cálido en general. Aunque solo fue cálido en la mitad oriental de La Jacetania y el Alto Gállego, fue extremadamente cálido en Zaragoza, Comunidad de Calatayud, Bajo Aragón-Caspe, Comunidad de Teruel, Jiloca, Sierra de Albarracín, Gúdar-Javalambre y Bajo Aragón. Las anomalías positivas observadas oscilan entre 1,4° en Borja y 3,6° en Caspe, con un promedio de +2,4° con respecto a las medias habituales del mes. En cuanto a los valores absolutos (Figura 4 y 5), la temperatura media de las mínimas osciló entre los 6°-7° en zonas del Pirineo y la Ibérica turolesse y los 13°-14° en áreas orientales de la depresión del Ebro, variando la media de las máximas entre los 16°-17° en Pirineos y los 24°-25° del extremos oriental del valle del Ebro.



**Figura 4, 5 y 6: Temperatura media de las mínimas (izq.), de las máximas (centro) y precipitación acumulada (dcha.) durante el mes de octubre de 2013**

En cuanto a la precipitación, octubre ha sido seco pero con desigual reparto: fue muy seco en toda la provincia de Teruel y Bajo Aragón -incluso extremadamente seco en Gúdar-Javalambre y Maestrazgo, normal en el Pirineo occidental, Hoya de Huesca y Los Monegros, húmedo en Comunidad de Calatayud, Cinco Villas y puntos de La Jacetania y muy húmedo en Campo de Borja y Tarazona y El Moncayo. El porcentaje de precipitación con respecto a la media alcanzó el 66%, con un rango que osciló entre el 0% en Sarrión y el 230% en Borja. En cuanto a los valores absolutos (Figura 6), en la mayor parte de la mitad este de la provincia de Teruel apenas llovió, con muchas localidades con registros cercanos a los 0 l/m<sup>2</sup>, contrastando con las acumulaciones superiores a los 150 l/m<sup>2</sup> –e incluso a 200 l/m<sup>2</sup>-, registradas en localidades del norte de las comarcas de La Jacetania y Alto Gállego.

# HUMEDAD DEL COMBUSTIBLE

## COMBUSTIBLES MUERTOS

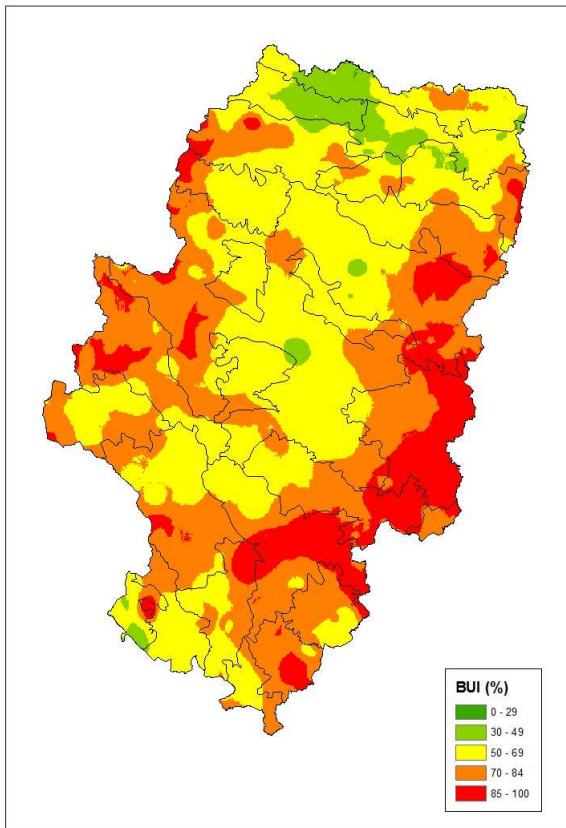


Figura 7. Mapa de BUI del 01 de octubre de 2013

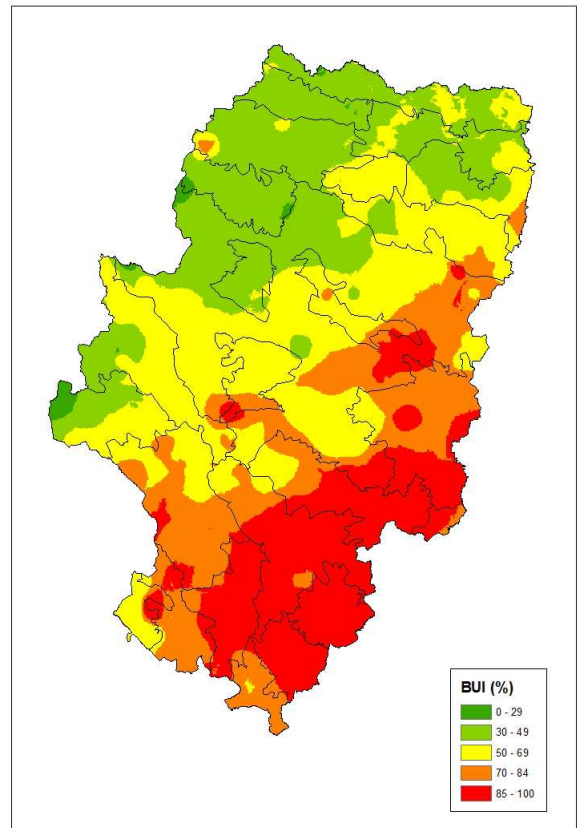


Figura 8. Mapa de BUI del 31 de octubre de 2013

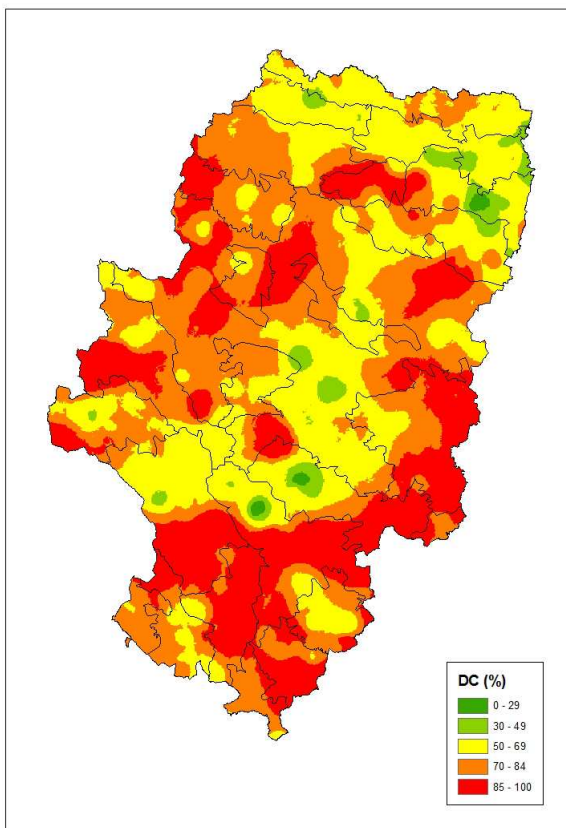


Figura 9. Mapa de DC del 1 de octubre de 2013

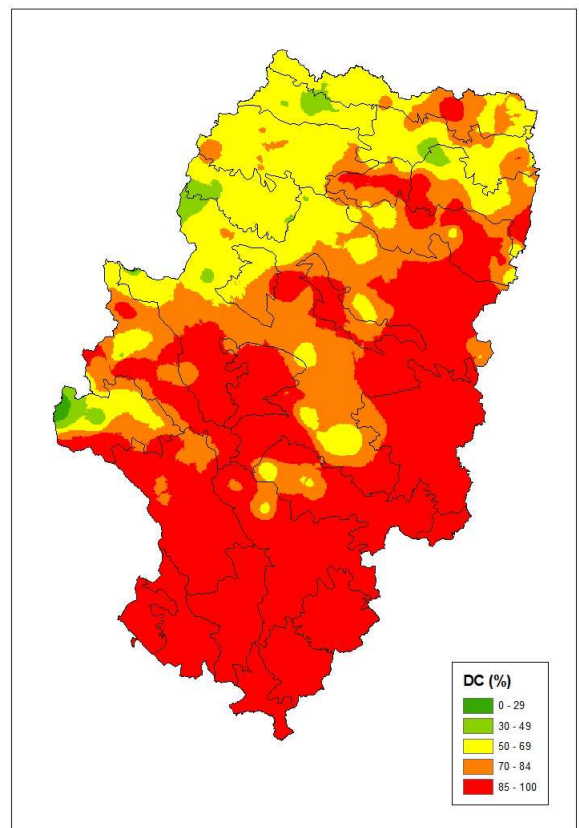


Figura 10. Mapa de DC del 31 de octubre de 2013

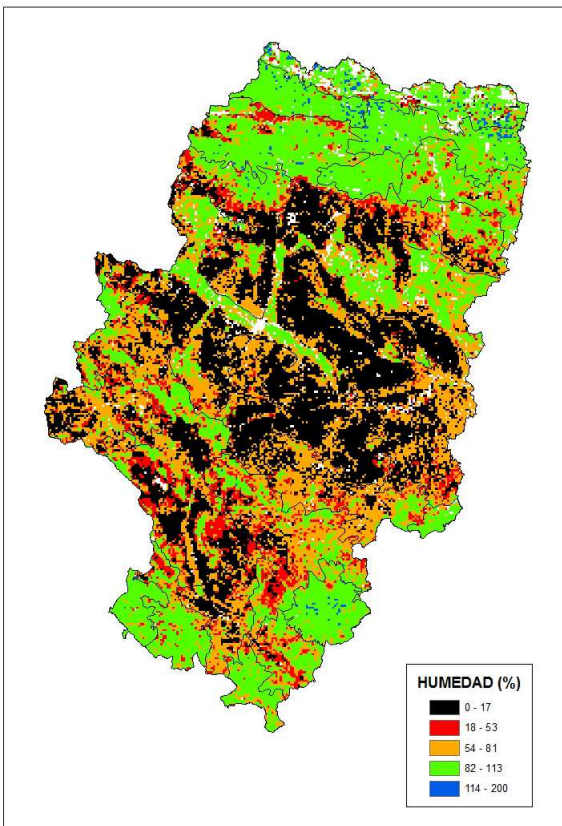
## BUI

La dinámica del índice BUI a lo largo del mes de octubre ha seguido un patrón similar al de las precipitaciones. De esta forma, se aprecia como en la mitad noroccidental de la Comunidad este índice tiende a disminuir a lo largo del mes, mientras que en la mitad suroriental la línea ha sido ascendente. Esta distribución coincide, como hemos indicado, con la mayor incidencia de lluvias en el noroeste y la menor, en incluso nula, en el sureste.

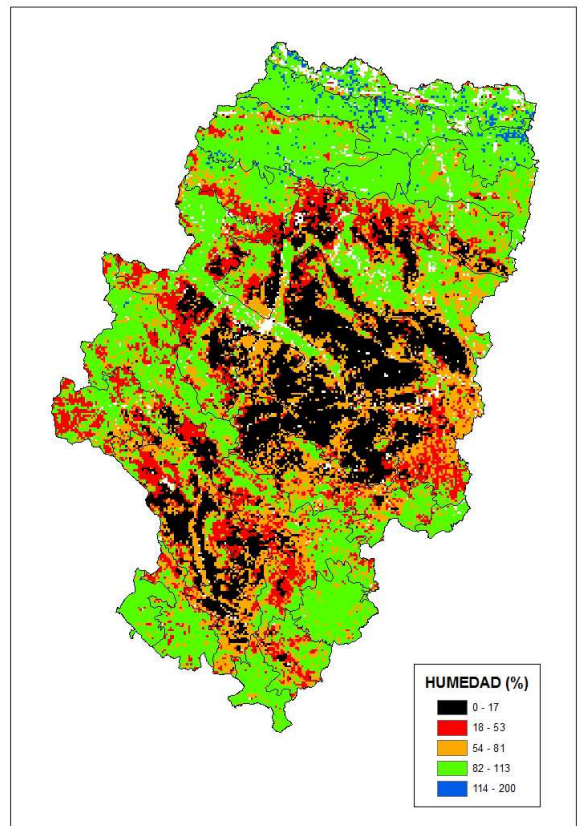
## DC

En cuanto a DC, la tendencia es similar a la distribución de las precipitaciones y por lo tanto a BUI. Sin embargo, hay que tener en cuenta que DC presenta una variación temporal menos brusca, es decir, existe un mayor retardo en sus dinámicas de humedad respecto a BUI. A pesar de esto, se aprecian bien las zonas de precipitación en las que DC ha disminuido.

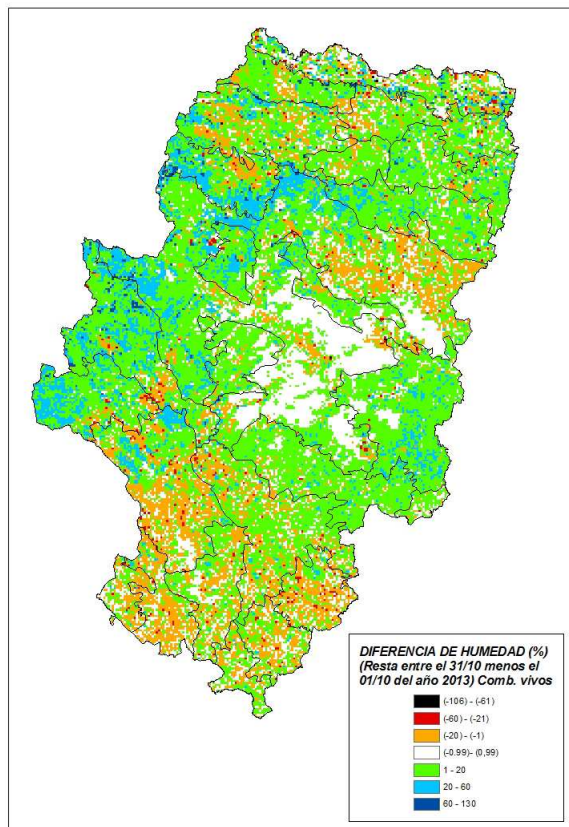
## **COMBUSTIBLE VIVO**



*Figura 11. Mapa de humedad del combustible vivo (%) a 1 de octubre de 2013*



*Figura 12. Mapa de humedad del combustible vivo (%) a 31 de octubre de 2013*



En las figuras de la parte superior podemos observar el contenido de humedad de los combustibles vivos en un fecha determinada. Concretamente, la imagen de la izquierda representa dicha humedad para el 1 de octubre de 2013, mientras que la de la derecha hace lo propio para el 31 de octubre de 2013. Ya se puede intuir, al igual que con los combustibles muertos, que el cuadrante noroeste de Aragón es el que mayor variación positiva de humedad ha experimentado.

De todas maneras, para aportar una mayor claridad a este aspecto, se ha restado la humedad (%) del mapa del 1 de octubre al del 31 de octubre de 2013. El resultado de dicha resta arroja los valores esperados, con mayor concentración de verde y especialmente de azules en la zona noroccidental de nuestra región, donde las precipitaciones han sido más copiosas durante este mes de octubre de 2013.

**Figura 13. Mapa de diferencia de humedad del combustible vivo (%) entre 31 de octubre y 1 de octubre de 2013**

## INCENDIOS MÁS RELEVANTES

### CRETAS (26/10/2013)



*Figura 14. Incendio acontecido en Cretas el 26 de octubre de 2013*



*Figura 15. Perímetro del incendio de Cretas*

El pasado 26 de octubre se produjo un incendio en el término municipal de Cretas, quemando 0,95 ha. Al parecer, la causa resultó ser el escape de una quema agrícola de un cultivo arbolado. La zona presentaba un mosaico de combustible forestal (*pino y matorral mediterráneo*) junto con cultivos, principalmente arbolados. El paraje se encuentra enclavado en las estribaciones de los Puertos de Beceite, extendiéndose hacia el sur áreas con grandes continuidades y una topografía escarpada.

Además, existía el condicionante de que el incendio estaba situado muy próximo a la carretera A-231, en un punto muy cercano a la confluencia con la A-1413.

El incendio se inicia en un campo de cultivo y por topografía (ya que el viento es casi inapreciable) asciende por una ladera de pinar y matorral, con el peligro de que el flanco derecho-cabeza llegue a la carretera A-231, situada en la parte alta. Mientras, el flanco izquierdo comporta menor peligro ya que se dirige a unos bancales de cultivo arbolado donde quedó acotado.

Finalmente, los medios de extinción consiguieron frenar este flanco derecho-cabeza antes de que la carretera pudiera verse afectada.

## INCENDIO EN EL BAJO AMPURDÁN (11/11/2013)

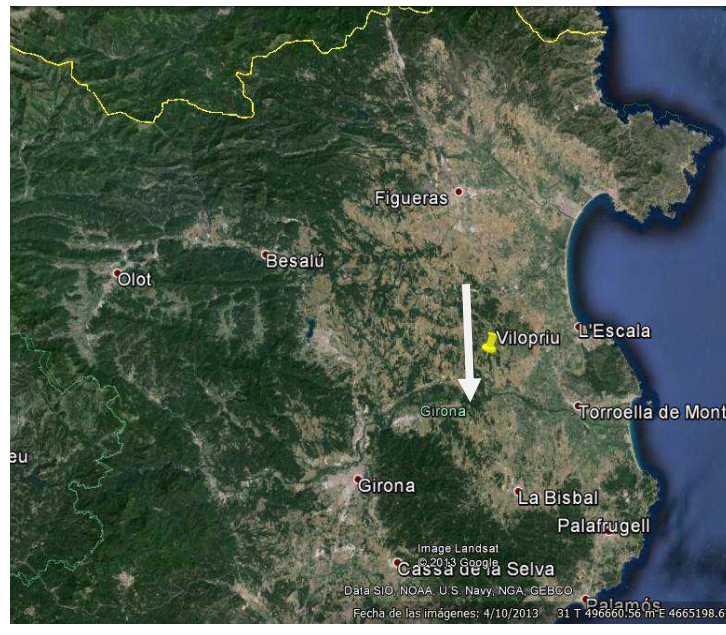
El lunes día 11 por la tarde se declaró un incendio en la zona del Bajo Ampurdán, concretamente afectando al entorno de los municipios de Vilopriu, Colomers, Jafre o Foixá. El fuego afectó aproximadamente a unas 500 ha forestales y de cultivo y fue necesaria la evacuación de algunas personas, el confinamiento de algunas localidades y el corte de carreteras.

El vector de propagación del incendio fue la fuerte tramontana que afectaba al área, pudiendo rebasar en algunos momentos los 80 km/h. Este hecho, junto con la baja humedad relativa asociada y la sequía acumulada propició que el fuego se extendiera con facilidad.



*Figura 16. Incendio de Vilopriu*

<http://ea2cpg.blogspot.com.es/2013/11/activado-infocat-por-incendio-en.html>



*Figura 17. Localización de la zona del incendio*



*Figura 18. Incendio en Vilopriu*

[http://ccaa.elpais.com/ccaa/2013/11/12/album/138425525254\\_277962.html#1384255254\\_277962\\_1384255561](http://ccaa.elpais.com/ccaa/2013/11/12/album/1384255254_277962.html#1384255254_277962_1384255561)

PERE DURAN

A continuación se presentan mapas a 500 hPa, 850 hPa y rachas de viento máximas pertenecientes a los días 9, 10 y 11 de noviembre de 2013. En ellos, se aprecia tanto en altura como en 850 hPa (aprox. 1500m de altitud) que existe un potente flujo de norte mantenido durante varios días. Además, vemos como en la zona del Apurdán tanto el día 10 como el 11 el flujo norte es de carácter continental (proviene de tierra), por lo que es esperable una humedad relativa muy baja en la zona.

Los mapas de rachas máximas de viento muestran, especialmente los días 10 y 11, como el módulo del viento llega o supera los 80 km/h en algunos instantes.

ECMWF Analysis VT: Saturday 9 November 2013 12UTC 500hPa Temperature/ Geopotential

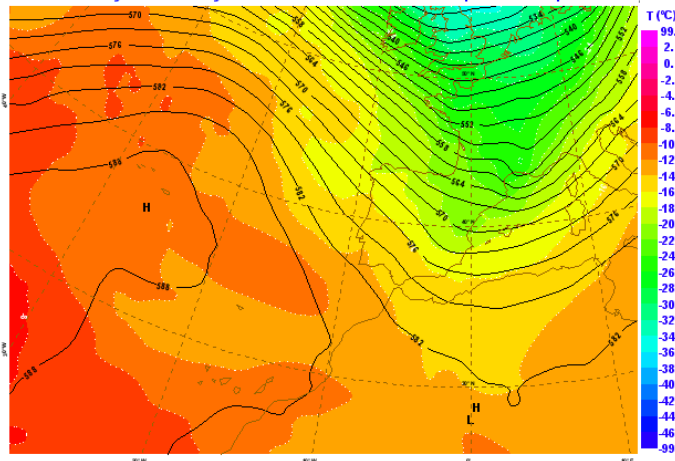


Figura 19. Geopotencial (Dm) y Temperatura (°C) a 500 hPa para el día 9 de noviembre a las 12 UTC

ECMWF Analysis VT: Sunday 10 November 2013 12UTC 500hPa Temperature/ Geopotential

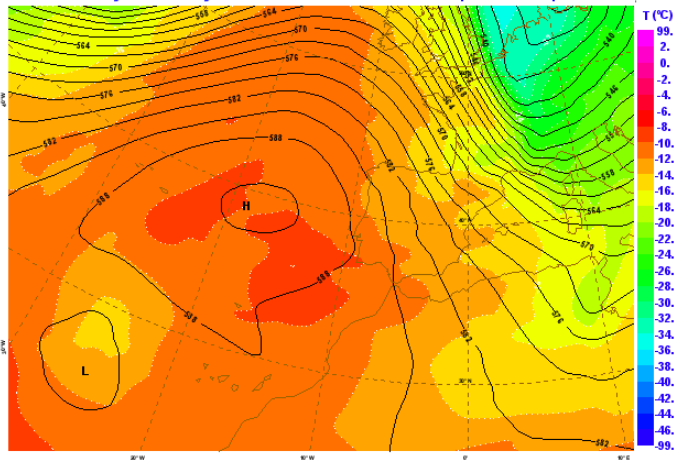


Figura 20. Geopotencial (Dm) y Temperatura (°C) a 500 hPa para el día 10 de noviembre a las 12 UTC

ECMWF Analysis VT: Monday 11 November 2013 12UTC 500hPa Temperature/ Geopotential

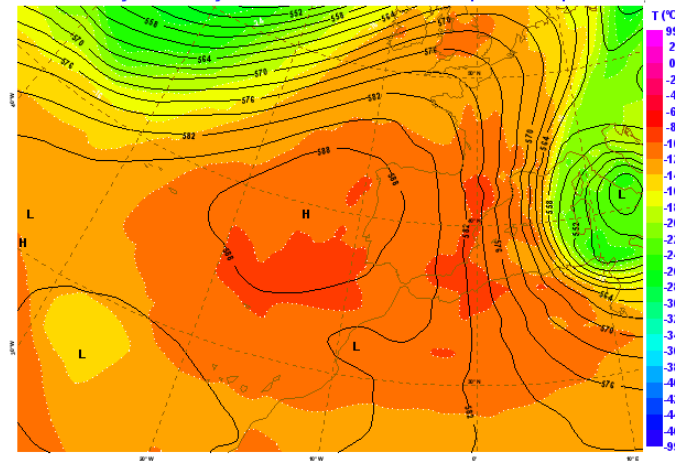


Figura 21. Geopotencial (Dm), Temperatura (°C) a 500 hPa para el día 11 de noviembre a las 12 UTC

ECMWF Analysis VT: Saturday 9 November 2013 12UTC 850hPa Temperature/ Mean sea level pressure

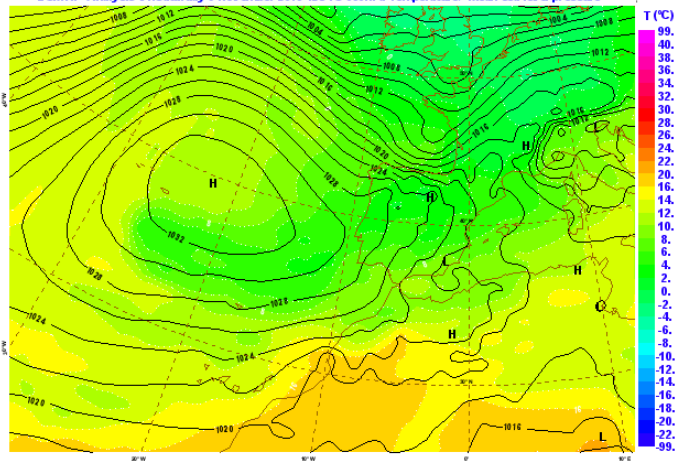


Figura 22. Geopotencial (Dm) y Temperatura (°C) a 850 hPa para el día 9 de noviembre a las 12 UTC

ECMWF Analysis VT: Sunday 10 November 2013 12UTC 850hPa Temperature/ Mean sea level pressure

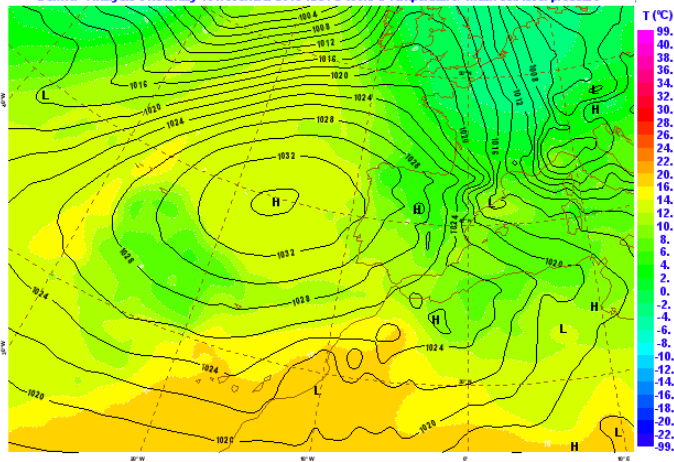


Figura 23. Geopotencial (Dm) y Temperatura (°C) a 850 hPa para el día 10 de noviembre a las 12 UTC

ECMWF Analysis VT: Monday 11 November 2013 12UTC 850hPa Temperature/ Mean sea level pressure

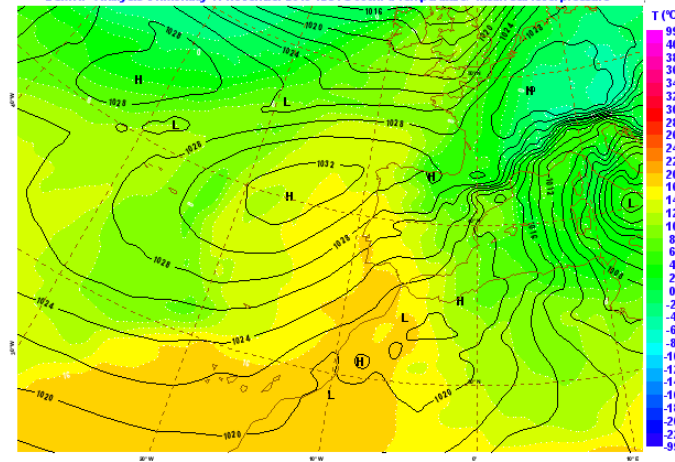


Figura 24. Geopotencial (Dm) y Temperatura (°C) a 850 hPa para el día 11 de noviembre a las 12 UTC

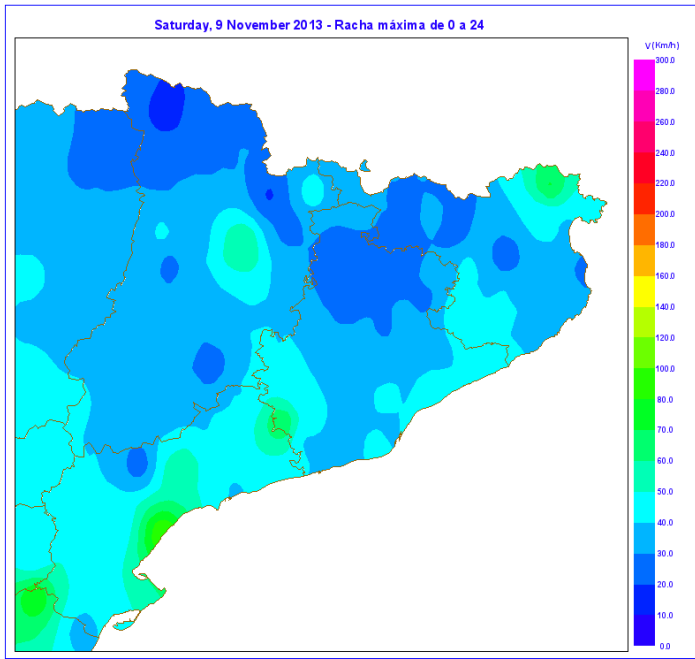


Figura 25. Racha máxima de viento durante el 9 de noviembre de 2013

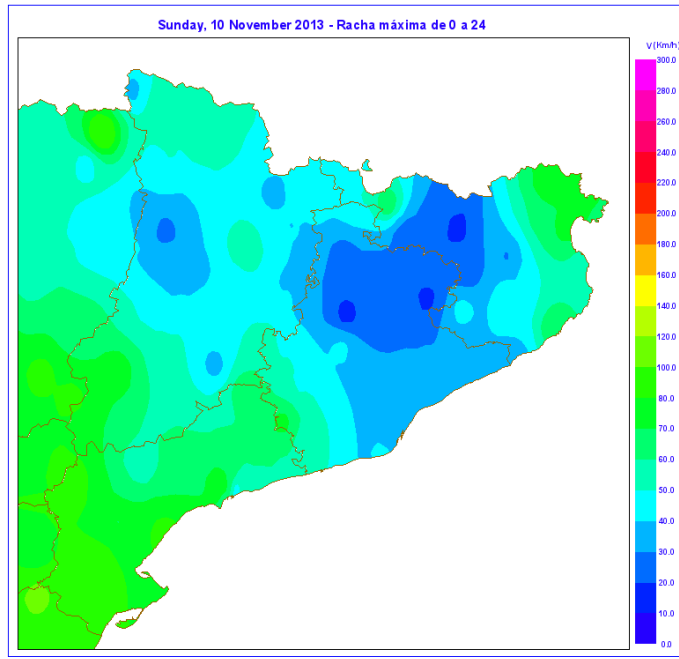


Figura 26. Racha máxima de viento durante el 10 de noviembre de 2013

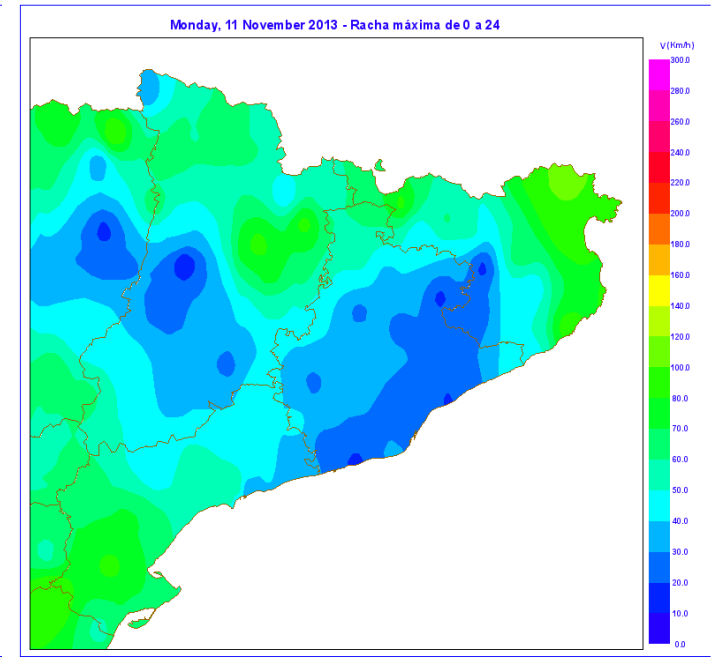


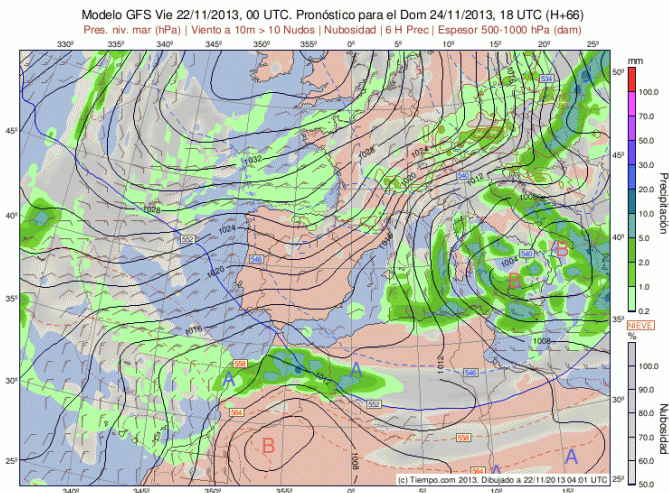
Figura 27. Racha máxima de viento durante el 11 de noviembre de 2013

# EN LOS PRÓXIMOS DÍAS...

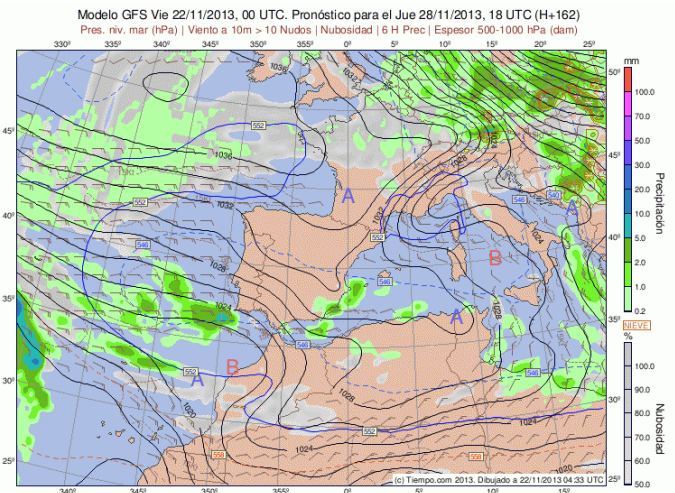
En las jornadas venideras es esperable que no cambie demasiado. Continuaremos con el flujo de norte a todos los niveles de la atmósfera. Esto se va a traducir en temperaturas frías y vientos fuertes de norte y noroeste en valle del Ebro y zonas altas. Las precipitaciones que se puedan producir serán escasas en general y principalmente en zonas de montaña y en forma de nieve.

A partir de mediados de la semana que viene, es previsible que la intensidad del viento disminuya, pese a que el flujo seguiría siendo de norte.

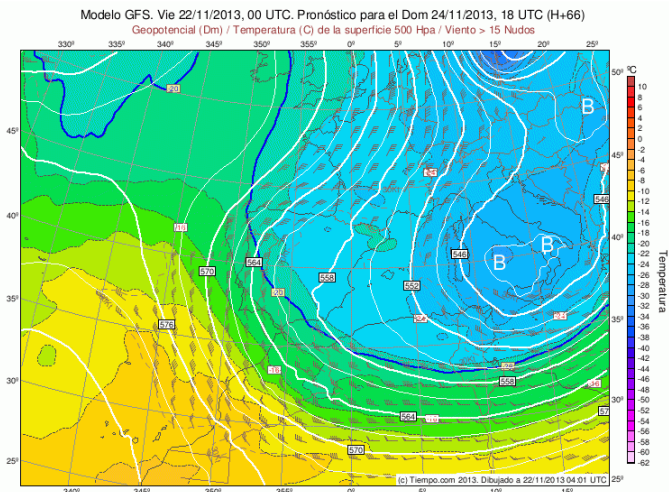
A lo largo de los próximos días podrían darse valores bajos de humedad por efecto foehn en las caras sur del Pirineo o en zonas del sureste de Teruel, aunque las lluvias de los últimos días han mejorado sensiblemente el contenido de humedad de los combustibles.



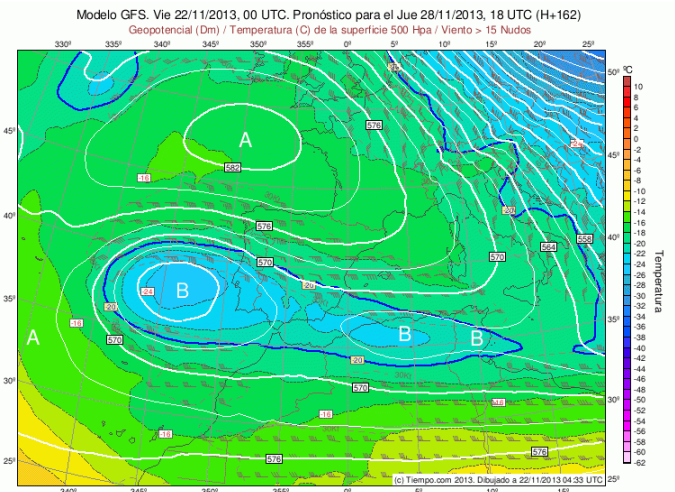
**Figura 28. Presión a nivel del mar, Viento a 10 > 10 nudos, Nubosidad y Precipitación en 6 horas para el día 24 de octubre a las 18 UTC**



**Figura 29. Presión a nivel del mar, Viento a 10 > 10 nudos, Nubosidad y Precipitación en 6 horas para el día 28 de octubre a las 18 UTC**

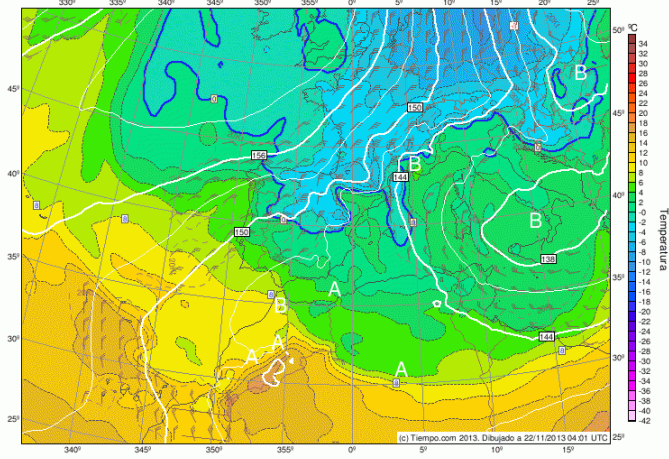


**Figura 30. Geopotencial (Dm), Temperatura (°C) y Viento > 15 nudos a 500 hPa para el día 24 de octubre a las 18 UTC**



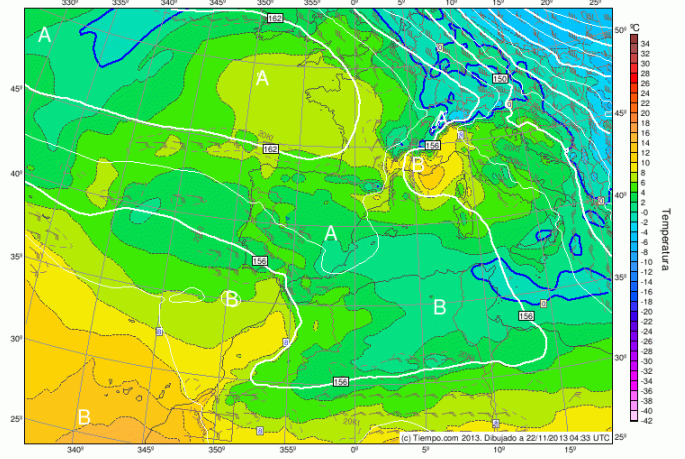
**Figura 31. Geopotencial (Dm), Temperatura (°C) y Viento > 15 nudos a 500 hPa para el día 28 de octubre a las 18 UTC**

Modelo GFS. Vie 22/11/2013, 00 UTC. Pronóstico para el Dom 24/11/2013, 18 UTC (H+66)  
Geopotencial (Dm) / Temperatura (C) de la superficie 850 hPa / Viento > 20 Nudos



**Figura 32. Geopotencial (Dm), Temperatura (°C) y Viento > 20 nudos a 850 hPa para el día 24 de octubre a las 18 UTC**

Modelo GFS. Vie 22/11/2013, 00 UTC. Pronóstico para el Jue 28/11/2013, 18 UTC (H+162)  
Geopotencial (Dm) / Temperatura (C) de la superficie 850 hPa / Viento > 20 Nudos



**Figura 33. Geopotencial (Dm), Temperatura (°C) y Viento > 20 nudos a 850 hPa para el día 28 de octubre a las 18 UTC**